

# Základy technologie fotonických vlnovodných struktur

Úloha

## Některé významnější technologie

**Iontová výměna ve skleněných podložkách** (ion exchange)  
Pasivní, případně aktivní struktury (dopované Er<sup>3+</sup>)

**Silica on silicon** (Si/SiO<sub>2</sub>/SiO<sub>2</sub>:Ge,P/ SiO<sub>2</sub>)  
chemické depozice, hydrolýza plamenem (IO „vlákno“)  
Měrný útlum řádu 0.001 dB/cm  
Pasivní součástky, termooptické, **aktivní** (dotované Er<sup>3+</sup>)

**Polymery**  
Termooptické (elektrooptické?) modulátory a přepínače

**Ti:LiNbO<sub>3</sub>, APE LiNbO<sub>3</sub>** (annealed proton exchange)  
Elektrooptické, akustooptické, aktivní (dotované Er<sup>3+</sup>),  
nelineární optické prvky (kaskádní procesy  $\chi^2$ :  $\chi^2$ )

**Polovodiče III-V** (InP/Ga<sub>x</sub>In<sub>y</sub>As<sub>1-x-y</sub> GaAs/Al<sub>x</sub>Ga<sub>1-x</sub>As)  
MOCVD, MBE, CBE  
Lasery, polovodičové zesilovače, elektroabsorpční  
modulátory, spektrální de/multiplexory, detektory,...)

**Silicon on Insulator** (Si/SiO<sub>2</sub>/Si)  
(„wafer bonding“, extrémní kontrast indexu lomu 3,5 : 1,  
extrémní hustota součástek)

Úloha

## Příprava vlnovodů v $\text{LiNbO}_3$

### Difuze titanu

- 1 čištění substrátu
- 2 ovrstvení fotorezistem a expozice
- 3 vyvolání fotorezistu
- 4 depozice titanu
- 5 „lift-off“
- 6 difuze titanu (1000°C, 8 h)

vlnovod vede *obě polarizace různě*

### Protonová výměna

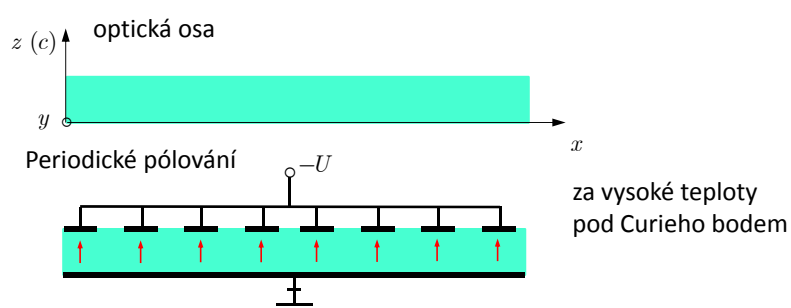
- depozice chromu
- ovrstvení fotorezistem a expozice
- vyvolání a vytváření rezistu
- leptání chromu
- „protonová výměna“ v kys. benzoové
- odstranění chromu a žíhání

vlnovod vede *jedinou polarizaci*

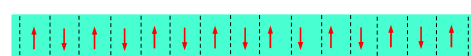
**Uve**

## Periodické půlování krystalu $\text{LiNbO}_3$

Monokrystal  $\text{LiNbO}_3$



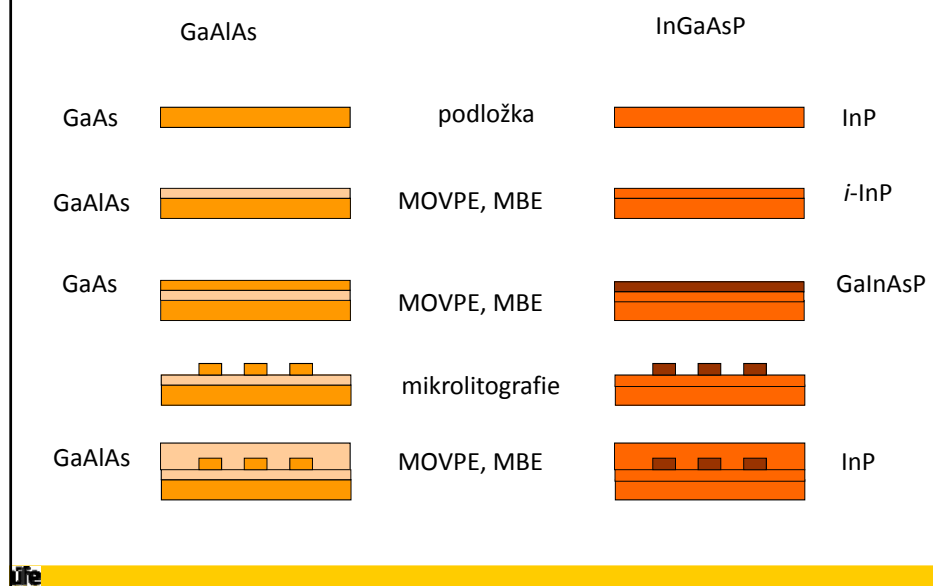
Výsledek:



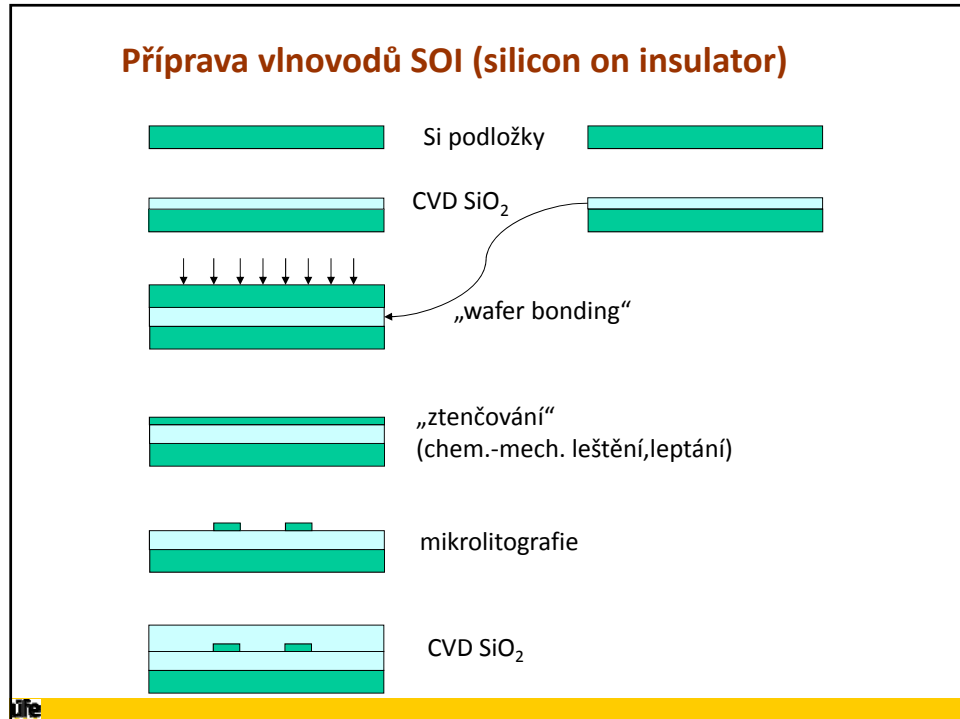
Periodické střídání orientace optické osy =>  
změna znamének všech tensorů 3. řádu ( $\chi^{(2)}$ ,  $\tilde{r}$ ,  $\tilde{e}$  apod.)

**Uve**

### Příprava polovodičových vlnovodů $A^{III}B^V$



### Příprava vlnovodů SOI (silicon on insulator)



## **Příprava masek na elektronovém litografu**

1. Modelování a návrh struktury vlnovodů a elektrod
2. Příprava dat pro elektronový litograf (digitalizace?)
3. Skleněná (křemenná) podložka s cca 50-100 nm Cr („matný chrom“)
4. Depozice elektronového rezistu odstředivkou (roztok PMMA)
5. Expozice rezistu elektronovým svazkem
6. „Vyvolání“ fotorezistu (odstranění exponovaných míst)
7. Iontové leptání chromové vrstvy

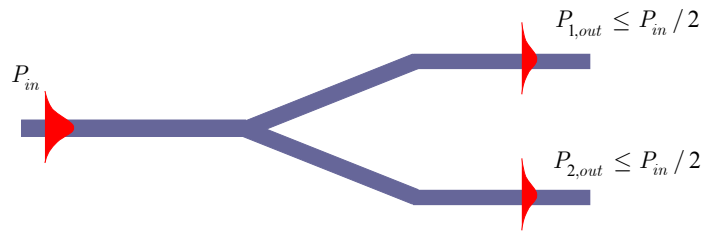
**Úloha**

## **Pasivní fotonické vlnovodné struktury**

**Úloha**

## Vlnovodné rozvětvení 1x2

### 1. Jednovidové rozvětvení buzené do společné větve



Výkon se dělí rovnoměrně do obou výstupních větví z důvodů symetrie

**Uve**

## Symetrické rozvětvení buzené v opačném směru

2. Současné buzení do obou větví se vzájemným fázovým posuvem  $\Delta\varphi$

$$e_1 = \frac{1}{\sqrt{2}}(e_s + e_a),$$

$$e_2 = \frac{1}{\sqrt{2}}(e_s - e_a)$$

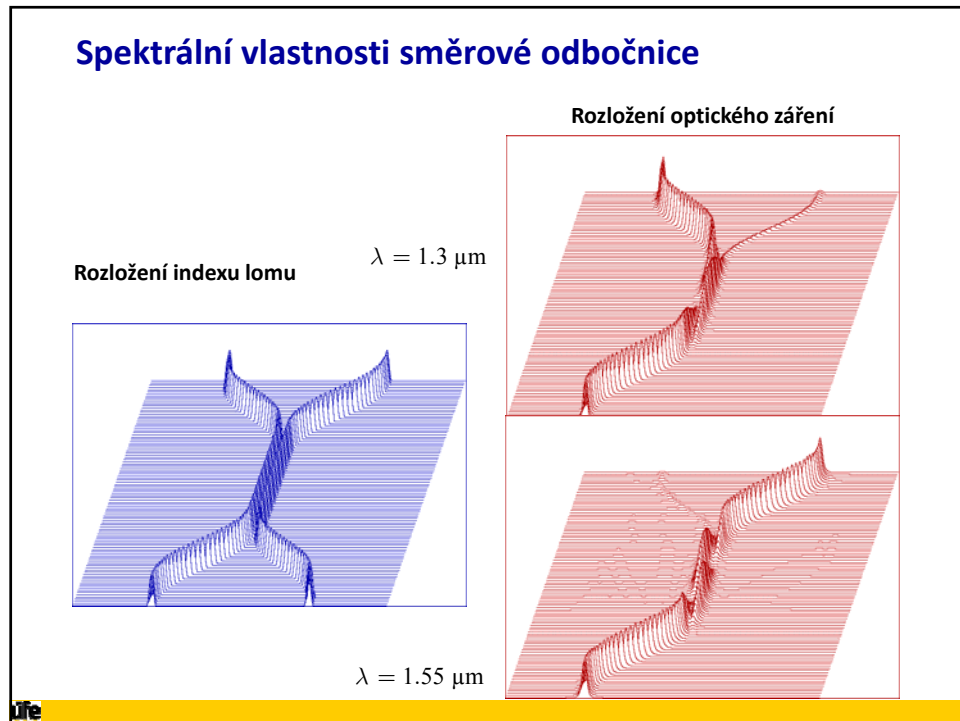
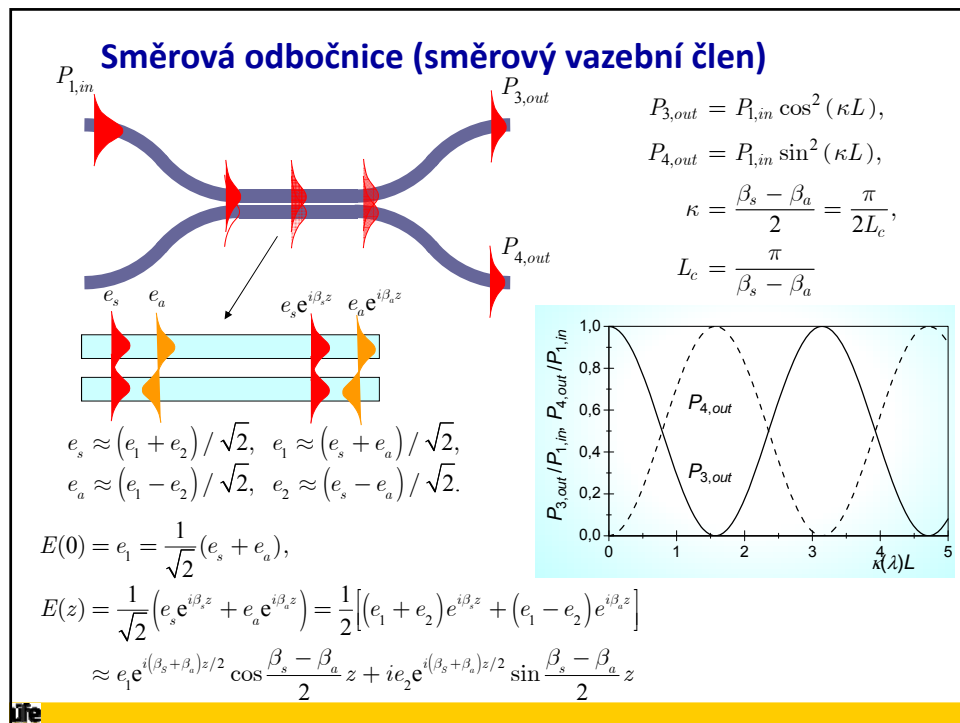
$$E_{out} \cong e_1 e^{i\Delta\varphi/2} + e_2 e^{-i\Delta\varphi/2} = \frac{1}{\sqrt{2}}(e_s + e_a) e^{i\Delta\varphi/2} + \frac{1}{\sqrt{2}}(e_s - e_a) e^{-i\Delta\varphi/2} =$$

$$= \sqrt{2}e_s \cos \frac{\Delta\varphi}{2} + \sqrt{2}ie_a \sin \frac{\Delta\varphi}{2} \rightarrow (e_1 + e_2) \cos \frac{\Delta\varphi}{2} = E_{in} \cos \frac{\Delta\varphi}{2}$$

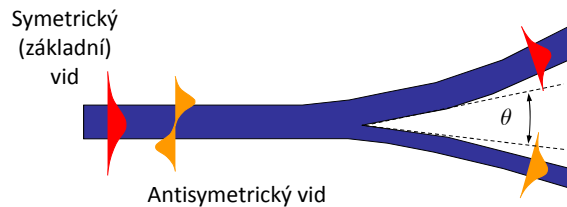
$$P_{out} \leq P_{in} \cos^2 \frac{\Delta\varphi}{2} = P_{in} \cos^2 \left( \frac{\pi}{2} \frac{u}{U_\pi} \right)$$

Relativní změnou fáze vidů ve vstupní větvi je možno měnit výstupní výkon

**Uve**



### Asymetrické vlnovodné rozvětvení jako oddělovač vidů

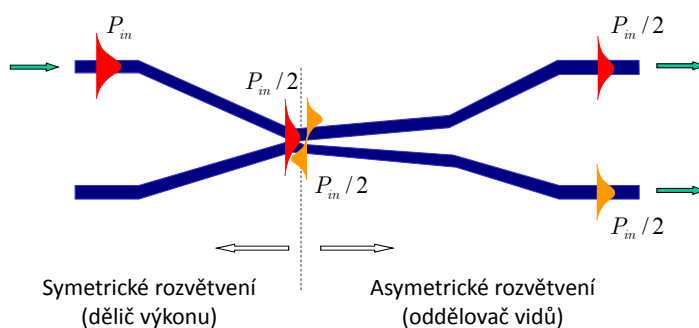


$$\frac{\Delta N_{eff}}{\sqrt{n_s^i - N_{eff}^2}} \theta \begin{cases} > 1, & \Rightarrow \text{asymetrické Y, oddělovač vidů} \\ < 0.1, & \Rightarrow \text{symetrické Y, dělič výkonu} \end{cases}$$

Pokud je výstupní úhel  $\theta$  velmi malý ( $\theta < 0,2^\circ$ ) a výstupní větve asymetrické, chová se rozvětvení Y jako **oddělovač vidů**, nikoli jako dělič výkonu

**Uve**

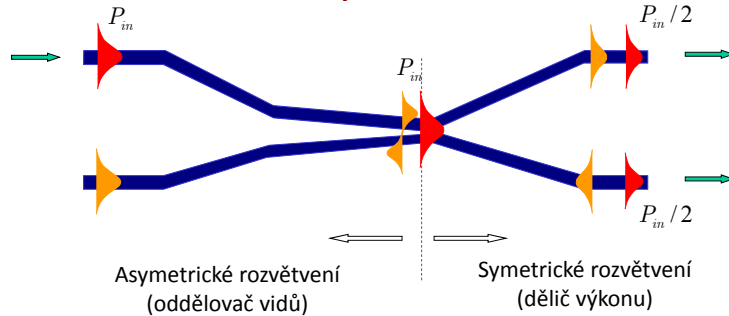
### Spektrálně nezávislá odbočnice 2x2



Odbočnice může pracovat v celém intervalu 1,25 – 1,6  $\mu\text{m}$ ; omezení je dáno **oblastí jednovidového režimu** vlnovodů

**Uve**

## Spektrálně nezávislá odbočnice 2x2 šíření v opačném směru

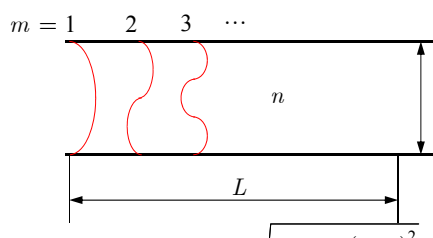


Odbočnice může pracovat v celém intervalu 1,25 – 1,6  $\mu\text{m}$ ;  
omezení je dáno **oblastí jednovidového režimu** vlnovodů

**Úloha**

## Děliče s mnohovidovou interferencí

Elementární teorie kovového dvoudeskového vlnovodu



Konstanty šíření „šířivých“ vidů:

$$\beta_m = \sqrt{k_0^2 n^2 - \left(\frac{m\pi}{d}\right)^2},$$

$$m = 1, 2, \dots, M, \quad M = \left[ \frac{k_0 n d}{\pi} \right] = \left[ \frac{2 n d}{\lambda} \right].$$

$$\text{Zřejmě } \beta_m L = L \sqrt{k_0^2 n^2 - \left(\frac{m\pi}{d}\right)^2} \approx k_0 n L \left[ 1 - \frac{1}{2} \left( \frac{m\pi}{k_0 n d} \right)^2 \right].$$

$$\text{Pokud } \frac{k_0 n L}{2} \left( \frac{m\pi}{k_0 n d} \right)^2 = \frac{m^2 \pi^2 L}{2 k_0 n d^2} = q_m \pi, \quad q_m = \frac{m^2 \pi L}{2 k_0 n d^2} \dots \text{celé}, \quad \frac{\pi L}{2 k_0 n d^2} \dots \text{celé},$$

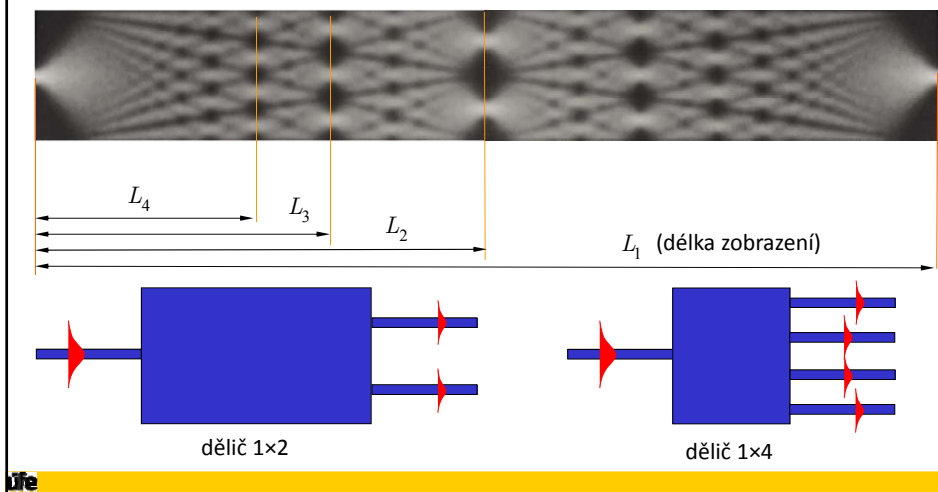
$$L = \frac{2 k_0 n d^2}{\pi} = \frac{4 n d^2}{\lambda} \approx M d, \quad \text{liší se } \beta_m L \text{ o sudé násobky } \pi \Rightarrow \text{zobrazení}$$

Realita: Konečný počet vidů; diel. vlnovod – fázová chyba (neplatí kvadr. závislost), nedokonalé zobrazení

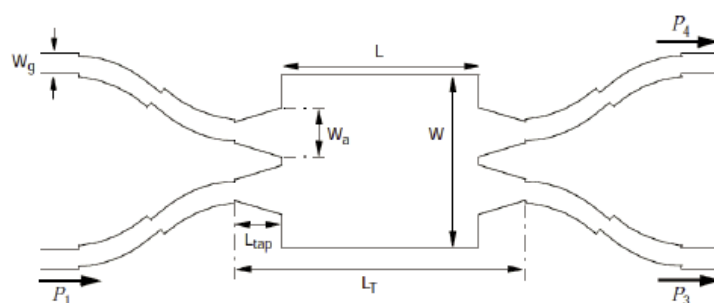
**Úloha**

## Děliče s mnohovidovou interferencí

Princip: Interference vidů v mnohovidovém planárním vlnovodu (~1978)



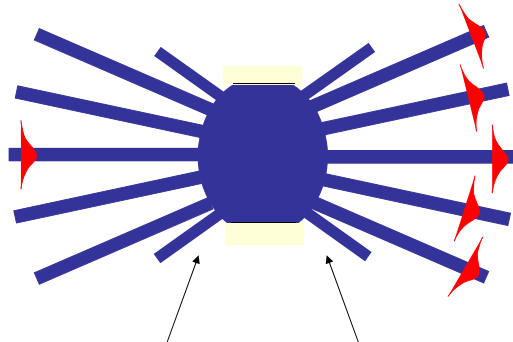
Vazební člen  $2 \times 2$  s úpravou pro zmenšení fázové chyby  
(snížení počtu potřebných vidů) a redukcí ztrát v ohybech



M.T.Hill, J. Lightwave Technol. **21**, 2305-2313, 2003

struktura děliče  $2 \times 2$  včetně  
vstupních a výstupních vlnovodů

### Hvězdicový difrakční vazební člen MxN



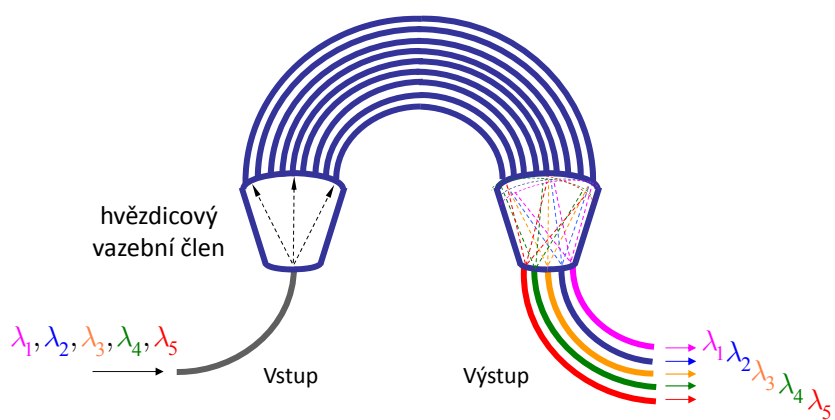
„Jalové“ vlnovody pro zlepšení rovnoměrnosti rozdělení výkonu

Umožňuje rovnoměrně navázat záření do velkého počtu  
(až několika desítek) vlnovodů

Úloha

### Spektrální demultiplexor s fázovanou řadou vlnovodů „Phasar“, AWG – arrayed waveguide grating demux)

Fázovaná řada (několika desítek) vlnovodů

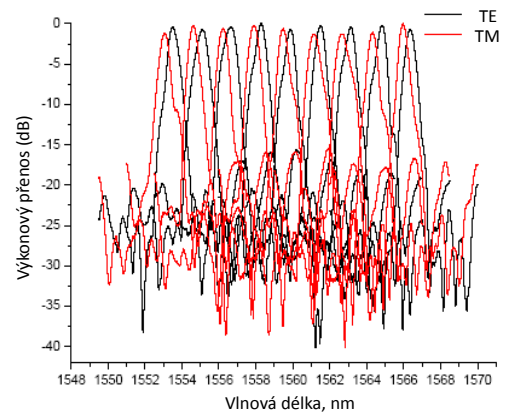
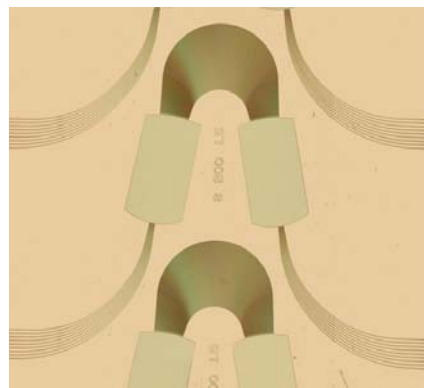


M. K. Smit, 1987; dnes asi nejpopulárnější součástka

Úloha

## Příklady AWG demultiplexorů - 1

**SOI**, Institute of Microstructural Sciences, NRC, Ottawa, 2004



lite

## Dynamické a nelineární fotonické vlnovodné prvky

lite

## Poruchová metoda výpočtu konstanty šíření „slabě modifikovaného“ vlnovodu

Zjednodušená rovnice „vázaných vln zanedbávající zpětné vlny:

$$\frac{da_\mu(z)}{dz} = i\beta_\mu a_\mu(z) + i \sum_\nu K_{\mu\nu}^{++}(z) a_\nu(z).$$

Pro slabou *homogenní* poruchu (nezávislou na  $z$ ) přibližně platí

$$\frac{da_\mu(z)}{dz} \approx i\beta_\mu a_\mu(z) + iK_{\mu\mu}^{++} a_\mu(z), \quad \text{neboli} \quad \frac{da_\mu(z)}{dz} \approx i(\beta_\mu + K_{\mu\mu}^{++}) a_\mu(z), \quad \text{a}$$

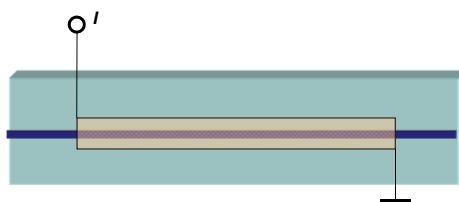
$$a_\mu(z_0 + \Delta z) \approx \exp[i(\beta_\mu + K_{\mu\mu}^{++})\Delta z] a_\mu(z_0).$$

„Porucha“ tedy (v prvním přiblížení) způsobí změnu konstanty šíření o hodnotu

$$\Delta\beta = \frac{\omega\varepsilon_0}{4} \frac{|\beta_\mu|}{\beta_\mu} \iint_S [\varepsilon(x, y) - \varepsilon^{(0)}(x, y)] \left[ |\mathbf{e}_{\mu\perp}^*(x, y)|^2 + \frac{\varepsilon^{(0)}(x, y)}{\varepsilon(x, y)} |e_{\mu z}|^2 \right] dx dy.$$

**Úloha**

## Termooptický jev



$$\varphi = k_0 N L$$

fázový posun  
při šíření vlny

$$\Delta\varphi = \frac{d\varphi}{dT} \Delta T = \underbrace{\frac{\partial\varphi}{\partial n} \frac{\partial n}{\partial T}}_{\substack{\text{vlastní} \\ \text{termooptický} \\ \text{jev}}} + \cancel{\frac{\partial\varphi}{\partial L} \frac{\partial L}{\partial T}}$$

- Jednoduchý jev – existuje ve všech materiálech
- při vhodné konstrukci časové konstanty řádu ms až  $\mu$ s!

**Úloha**

## Elektrooptický jev

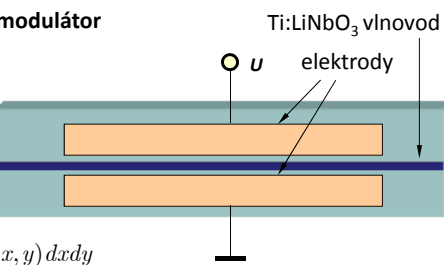
změna indexu lomu (tenzoru optické permitivity)  
vlivem vnějšího elektrického pole

$$\Delta(\epsilon^{-1}) = \vec{r} \cdot \mathbf{E}_v; \quad \Delta\epsilon \cong -\epsilon \cdot (\vec{r} \cdot \mathbf{E}_v) \cdot \epsilon$$

malá změna permitivity  $\Rightarrow$  teorie vázaných vln

Typická aplikace: **elektrooptický (fázový) modulátor**

$$\begin{aligned}\Delta\beta &\approx \frac{k_0}{2} \iint_S \mathbf{e}(x, y) \cdot \Delta\epsilon \cdot \mathbf{e}^*(x, y) dx dy \\ &= -\frac{k_0}{2} \iint_S \mathbf{e}(x, y) \cdot \epsilon \cdot [\vec{r} \cdot \mathbf{E}_v(x, y)] \cdot \epsilon \cdot \mathbf{e}^*(x, y) dx dy\end{aligned}$$

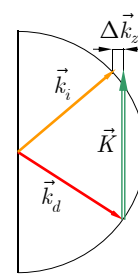
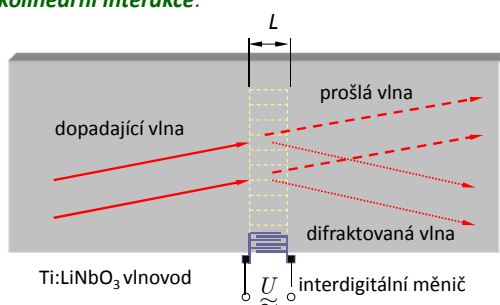


**Úloha**

## Akustooptický jev

difracce na (povrchové) akustické vlně  
jako na dynamické optické difrakční mřížce

**Nekolineární interakce:**



$$\Delta(\bar{\epsilon}^{-1}) = \bar{\mathbf{p}} : \bar{\mathbf{S}}; \quad \Delta\epsilon = -\bar{\epsilon} \cdot (\bar{\mathbf{p}} : \bar{\mathbf{S}}) \cdot \bar{\epsilon}, \quad \bar{\mathbf{S}} = \bar{\mathbf{S}}_0 e^{i(\mathbf{K} \cdot \mathbf{r} - \Omega_a t)}$$

"piezoelektricky zpevněný"  
elastooptický tenzor

$$\text{v piezoelektrických materiálech} \quad \Delta(\bar{\epsilon}^{-1}) = \bar{\mathbf{p}} : \bar{\mathbf{S}} + \vec{r} \cdot \mathbf{E}_p = \left( \bar{\mathbf{p}} - \vec{r} \cdot \bar{\epsilon}^{-1} \cdot \bar{\mathbf{e}} \right) : \bar{\mathbf{S}}$$

$$\omega_d = \omega_i \pm \Omega_a, \quad \text{zákon zachování energie}$$

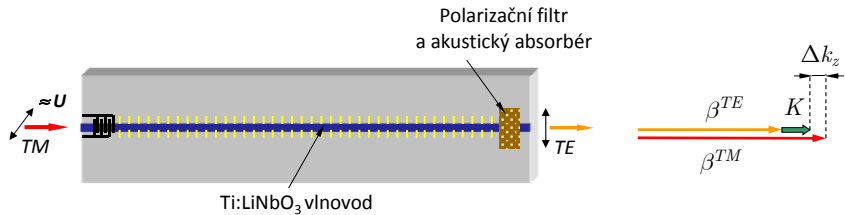
$$\text{piezoelektrický tenzor}$$

$$\mathbf{k}_d \cong \mathbf{k}_i \pm \mathbf{K} \quad \text{zákon zachování (kvazi)impulu}$$

**Úloha**

## Akustooptický jev

### Kolineární interakce



Účinnost akustooptické interakce

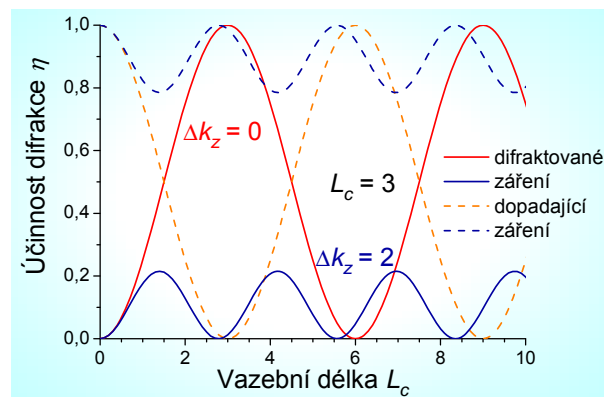
$$\eta = \frac{\kappa^2}{\kappa^2 + (\Delta k_z / 2)^2} \sin^2 \left( \sqrt{\kappa^2 + (\Delta k_z / 2)^2} L \right),$$

$$\kappa \approx \frac{k_0}{2} \int_{-\infty}^{\infty} \int_{-\infty}^{\infty} \mathbf{e}^{TM}(x, y) \cdot \Delta \boldsymbol{\epsilon}(x, y) \cdot \mathbf{e}^{TE}(x, y) dx dy = \frac{\pi}{2L_c}$$

**Účinnost**

## Účinnost akustooptické interakce

$$\eta = \frac{\kappa^2}{\kappa^2 + (\Delta k_z / 2)^2} \sin^2 \left( \sqrt{\kappa^2 + (\Delta k_z / 2)^2} L \right),$$



**Účinnost**

## Vliv koncentrace volných nosičů náboje na optické vlastnosti polovodičového materiálu

„Volné“ elektrony ve vodivostním pásu v homogenním elektrickém poli

$$m_e^* \frac{d^2x}{dt^2} + \gamma \frac{dx}{dt} - qE_0 e^{-i\omega t} = 0, \quad \gamma \text{ -- fenomenologická konstanta tlumení}$$

Ustálené řešení je  $x_0 = \frac{q}{m_e^* \omega^2 + i\gamma\omega} E_0$  – amplituda výchylky z rovnovážné polohy

Elektrická polarizace:  $\Delta P = -qn_e x_0 = -\frac{q^2 n_e}{m_e^* \omega^2 + i\gamma\omega} E_0$

$n_e$  – koncentrace elektronů

$$\Delta\epsilon = \Delta P / (\epsilon_0 E_0) = -\frac{q^2 n_e}{\epsilon_0 (m_e^* \omega^2 + i\gamma\omega)} \approx -\frac{q^2 n_e}{\epsilon_0 m_e^* \omega^2} + i \frac{q^2 n_e \gamma}{\epsilon_0 (m_e^*)^2 \omega^3}$$

V konstantním poli  $\gamma \frac{dx}{dt} = qE$ , t.j.  $v = \frac{dx}{dt} = \frac{q}{\gamma} E = \mu_e E$ ,  $\mu_e$  – pohyblivost elektronu

$$\epsilon + \Delta\epsilon = (n + \Delta n)^2 \doteq \epsilon + 2n\Delta n + \cancel{(\Delta n)^2}$$

pak

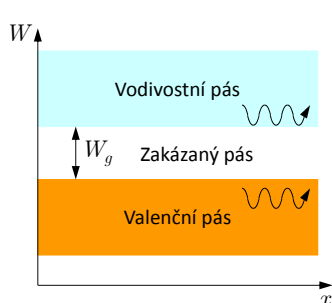
$$\Delta n' \approx -\frac{q^2 n_e \lambda^2}{8\pi^2 \epsilon_0 n m_e^* c^2}, \quad \alpha = k_0 \Delta n'' \approx \frac{q^3 n_e \lambda^2}{8\pi^2 \epsilon_0 n m_e^* c^2 \mu_e c^2}$$

$$\Delta n' \simeq 10^{-3} \div 10^{-2} (!), \quad b \approx 1 \text{ dB/cm}$$

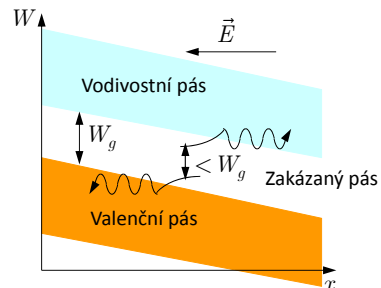
**Úloha**

## Elektroabsorpce a elektrorefrakce v polovodičích

Pásový energetický diagram polovodiče



Pásový energetický diagram polovodiče s přiloženým napětím (el. polem)



$$\varepsilon'(\omega) - 1 = \frac{2}{\pi} \mathbf{P} \int_0^\infty \frac{\omega' \varepsilon''(\omega')}{\omega'^2 - \omega^2} d\omega', \quad \text{Elektroabsorpční jev} \Rightarrow \text{změna spektrální závislosti absorpcie}$$

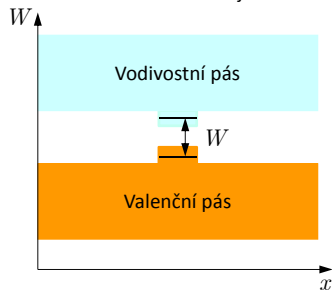
$$\varepsilon''(\omega) = \frac{2\omega}{\pi} \mathbf{P} \int_0^\infty \frac{\varepsilon'(\omega')}{\omega'^2 - \omega^2} d\omega' \quad \Downarrow \quad \text{Kramersovy-Kronigovy relace} \Rightarrow \text{Elektrorefrakční jev}$$

„Zesílení“ excitonovými efekty v kvantových jamách;  
QCSE (Starkův jev v kvantově ohraničených strukturách)

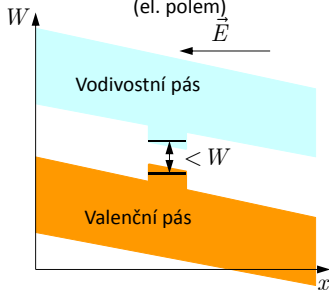
**Úloha**

## Starkův jev v kvantově ohraničených strukturách (QCSE)

Pásový energetický diagram polovodiče s kvantovou jámou



Pásový energetický diagram polovodiče s kvantovou jámou s přiloženým napětím (el. polem)  $\vec{E}$



$$\epsilon'(\omega) - 1 = \frac{2}{\pi} \mathbf{P} \int_0^\infty \frac{\omega' \epsilon''(\omega')}{\omega'^2 - \omega^2} d\omega',$$

$$\epsilon''(\omega) = \frac{2\omega}{\pi} \mathbf{P} \int_0^\infty \frac{\epsilon'(\omega')}{\omega'^2 - \omega^2} d\omega'$$

Elektroabsorpční Starkův jev (QCSE)  $\Rightarrow$

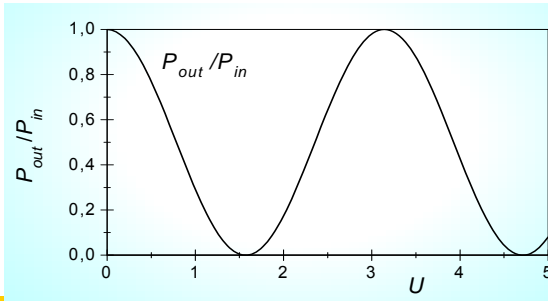
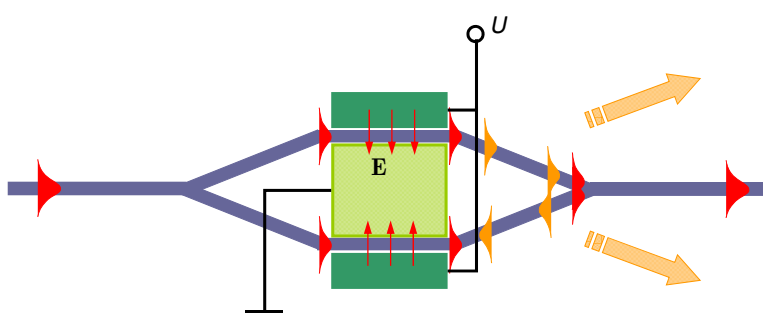
Kramersovy-Kronigovy relace  $\Rightarrow$

Elektrorefrakční Starkův jev (QCSE)

Excitonové jevy v kvantových jamách zvýrazňují QCSE (strmější absorpční hrana)

**Uve**

## Machův-Zehnderův interferometrický modulátor



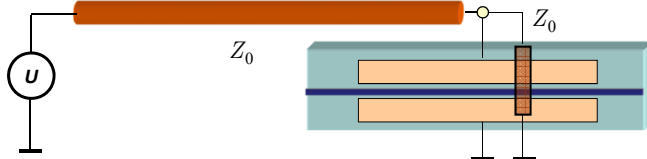
$$P_{out} = P_{in} \cos^2 \left( \frac{\pi}{2} \frac{U}{U_\pi} \right)$$

$$= \frac{P_{in}}{2} \left[ 1 + \cos \left( \pi \frac{U}{U_\pi} \right) \right]$$

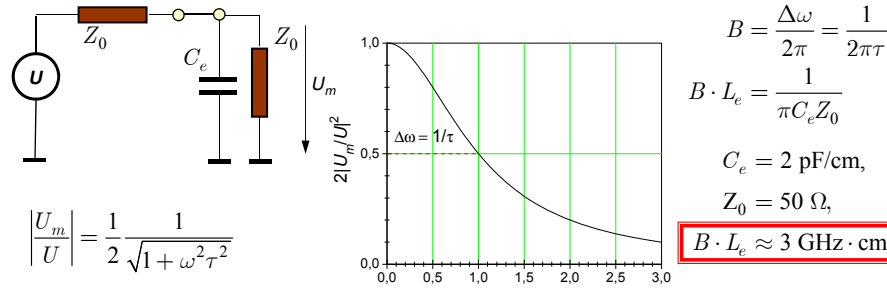
**Uve**

## Modulační rychlosť elektrooptických modulátorov I

Standardný modulátor s elektrodami „se soustředěnými parametry“



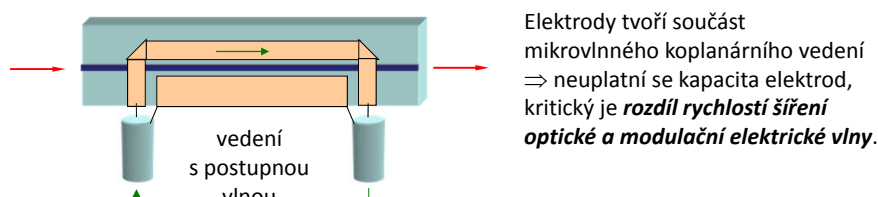
Ekvivalentní elektrický obvod       $U_m = \frac{1}{2(1+j\omega\tau)}U, \quad \tau = \frac{Z_0C_m}{2}, \quad C_m = C_eL_e$



Úloha

## Modulační rychlosť elektrooptických modulátorov II

Modulátor s elektrodami s postupnou vlnou



Elektrická modulační „vlna“:  
 $E_{mod} = E_m \exp[j\Omega(t - N_\mu z/c)]$

Účinnosť modulace elektrodami dĺžky L:

Šírka pásma (pro pokles účinnosti modulace o 4 dB) je

Optická vlna:  
 $E_{opt} = E_0 \exp[j\omega(t - Nz/c)]$

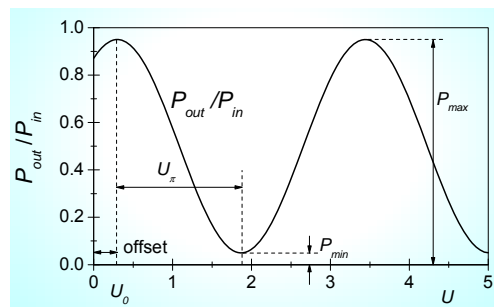
$$\eta_{mod} \sim \left[ \frac{\sin \frac{\Omega}{2c} (N_\mu - N)L}{\frac{\Omega}{2c} (N_\mu - N)L} \right]^2;$$

$$B \cdot L \approx \frac{\Omega_{max}}{2\pi} L = \frac{c}{2(N_\mu - N)}$$
 Pro  $N_\mu \approx 4.2, N \approx 2.2$  
$$B \cdot L \approx 10 \text{ GHz} \cdot \text{cm}$$

Úloha

## Technické parametry reálných elektrooptických modulátorů

Typická modulační charakteristika



„Offset“ v přepínací charakteristice je důsledkem rozdílu v optické dráze ramen interferometru.  
Je ho možno kompenzovat napětím.  
U rychlých modulátorů se proto vytváří sada kompenzačních elektrod.

$$\frac{P_{out}}{P_{in}} = \frac{1}{2} \left[ 1 + m \cos \left( \pi \frac{U - U_0}{U_\pi} \right) \right], \quad m < 1$$

Spinací poměr (extinkce, extinkční poměr)

$$E = 10 \log \frac{P_{\max}}{P_{\min}} = 10 \log \frac{1+m}{1-m}$$

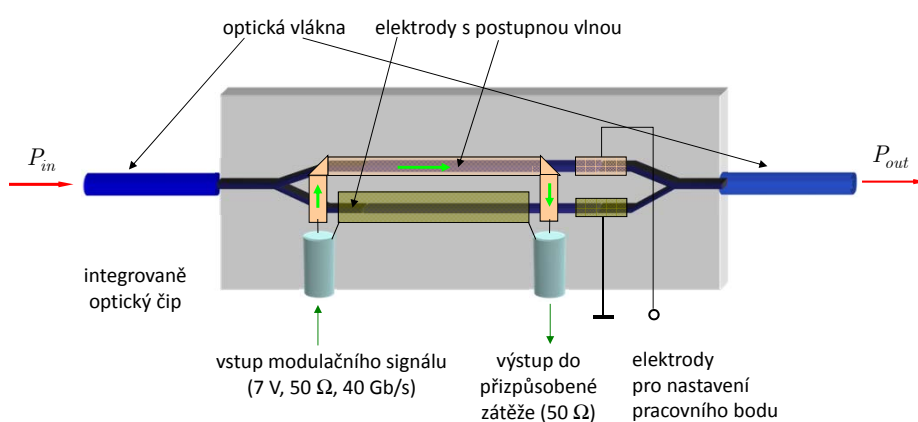
Vložný útlum

$$IL = 10 \log \frac{P_{in,fibre}}{P_{\max,fibre}}$$

U kvalitních modulátorů     $E \geq 20 \text{ dB}, \quad IL \leq 3 \text{ dB}$

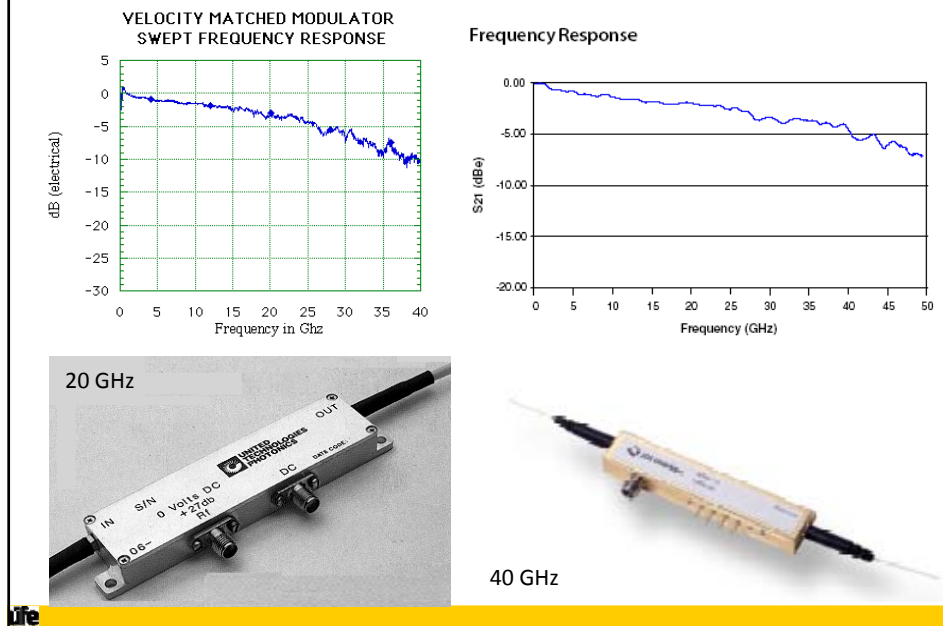
**Úloha**

## Elektroopticky řízený Machův-Zehnderův interferometrický modulátor s postupnou vlnou

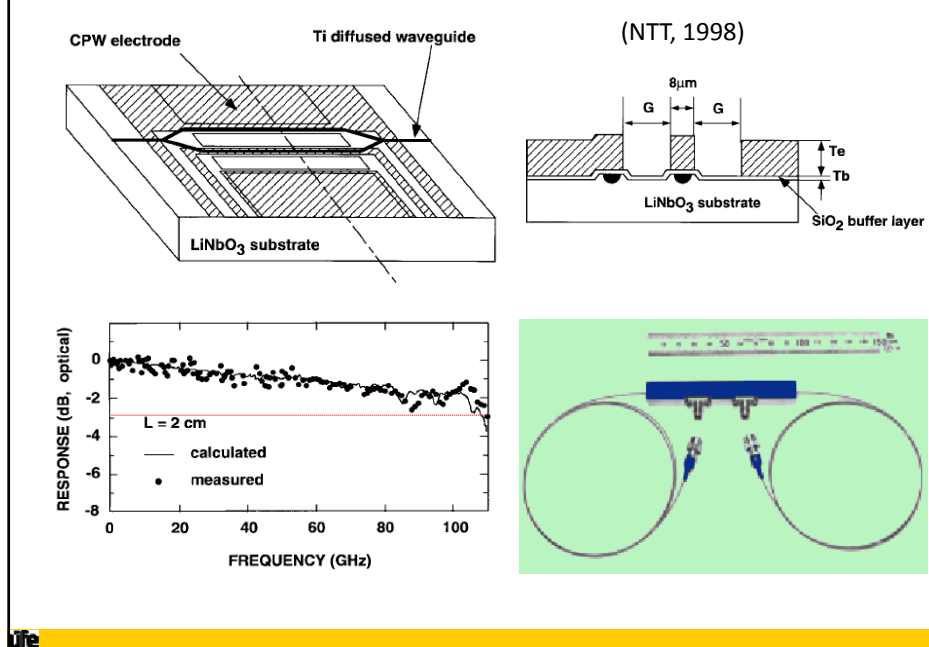


**Úloha**

## Komerční elektrooptické modulátory

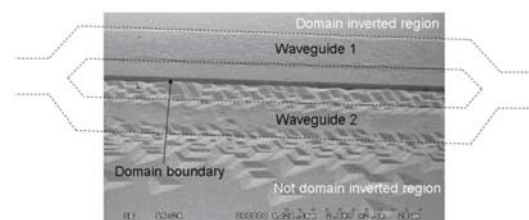
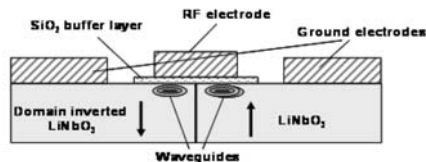


## 100 GHz LiNbO<sub>3</sub> modulátor s ovládacím napětím 5,1 V



## Modulátor využívající inverzi domén v $\text{LiNbO}_3$

Zjednodušení elektrodové struktury:

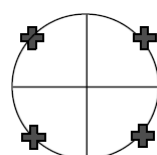


Valerio Pruneri et al.,  
Avanex Corporation, Italy  
ICFO, Spain  
ICREA, Spain, 2007

Úloha

## Modulátor pro kvadraturní fázovou modulaci (QPSK)

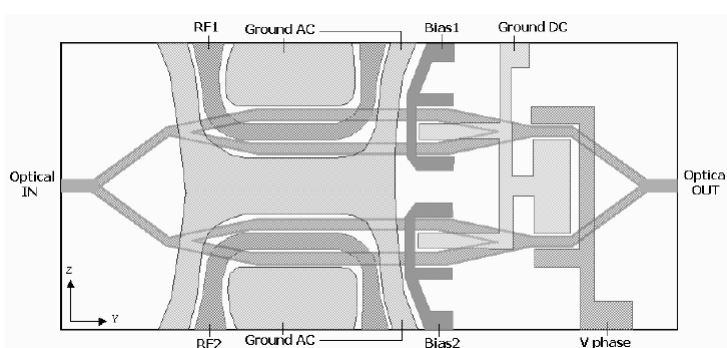
Imaginary axis



Real axis

Modulační formát přenášející 2 bity/symbol

Realizace v  $\text{LiNbO}_3$



Úloha

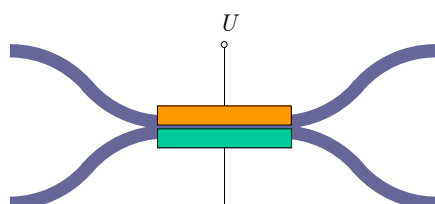
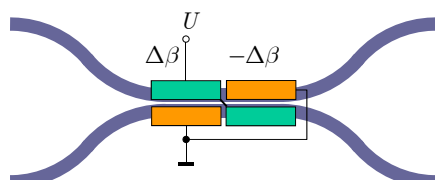
## Elektrooptické vlnovodné přepínače

Elektroopticky řízená směrová odbočnice  
2 nebo více sekcí opačně napájených „ $\Delta\beta$  – reversal“

Nízké ovládací napětí, komplikovaná spínací charakteristika, napětím lze korigovat tolerance parametrů

Přepínač s dvouvidovou interferencí „two-mode interference coupler“

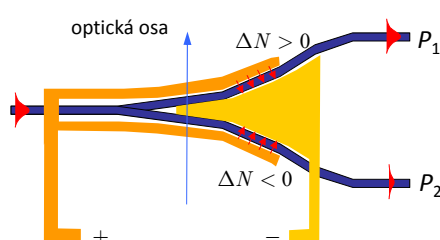
Nízké ovládací napětí, sinusová spínací charakteristika



Střední část vlnovodné struktury je dvouvidová. Symetrický vid má ve štěrbině mezi elektrodami maximum, antisymetrický vid minimum  $\Rightarrow$  vidy jsou ovlivňovány různě. Tím dojde k fázovému posuvu mezi nimi  $\Rightarrow$  přepínání. Oba tyto elektrooptické přepínače jsou polarizačně závislé.

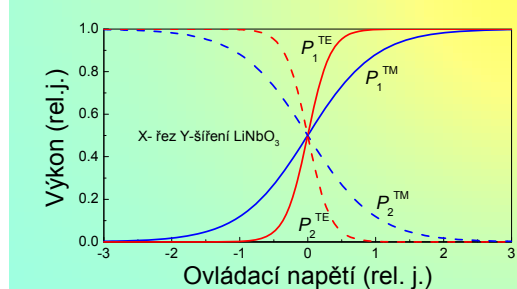
**Uve**

## Polarizačně nezávislý „digitální“ optický přepínač (DOS) v LiNbO<sub>3</sub>



Symetrické rozvětvení s elektroopticky indukovanou asymetrií

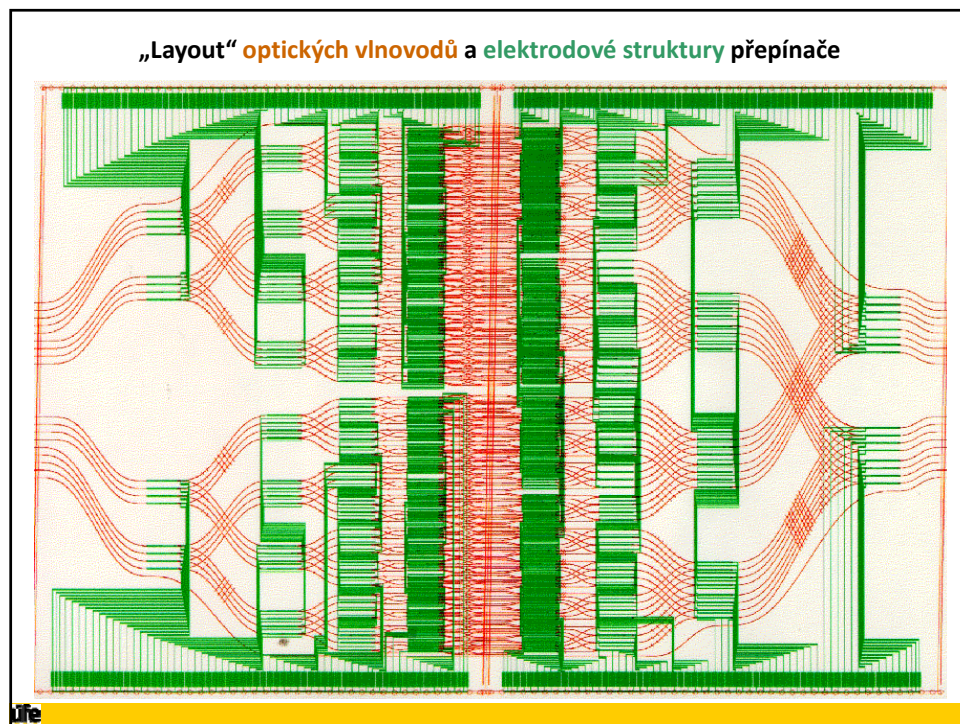
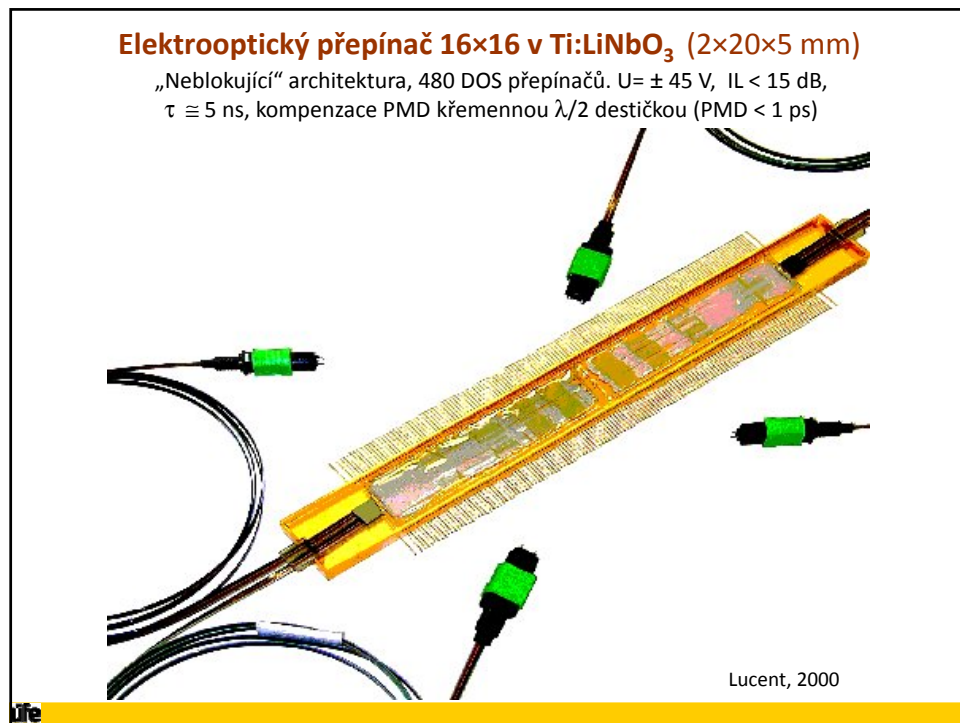
Přepínací charakteristika



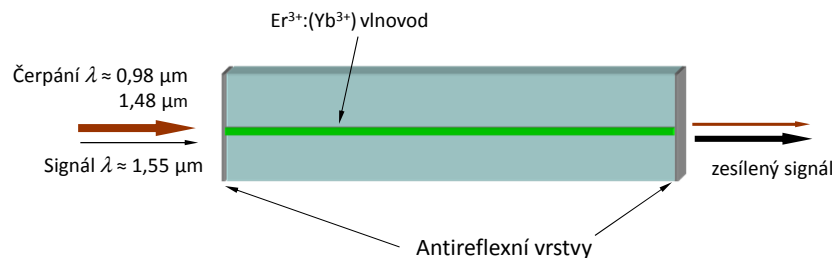
### Vlastnosti přepínače DOS:

polarizační nezávislost,  
velmi výhodný (skokovitý) tvar  
přepínací charakteristiky;  
velké ovládací napětí ( $\pm 60$  V)

**Uve**



## Vlnovodné optické zesilovače a lasery (EDWA, EDWL)



Vlnovody z různých materiálů: (fosfátové) sklo,  $\text{Al}_2\text{O}_3$ ,  $\text{LiNbO}_3$ , ...  
zesílení  $\approx 10 \text{ dB}$

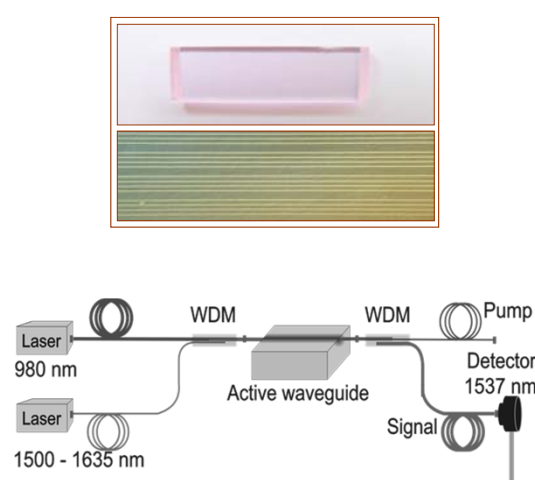
Výhody: malé rozměry, možnost současného zesilování signálů  
na různých „nosných“ vlnových délkách  
možnost integrace s pasivními součástkami na jednom čipu  
("zero-dB splitter")

Nevýhody: malá délka -> vysoká koncentrace dopantů, **malé zesílení**

**Úře**

## Vlnovodný optický zesilovač dopovaný erbiem

Substrátové sklo a iontová výměna: VŠCHT, litografie a charakterizace: ÚFE

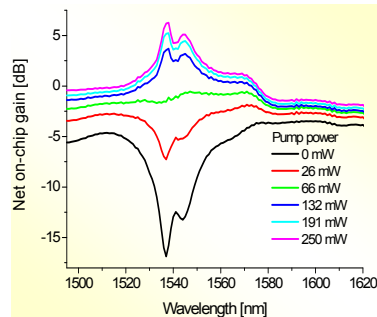


**Úře**

## Vlnovodný optický zesilovač dopovaný erbiem

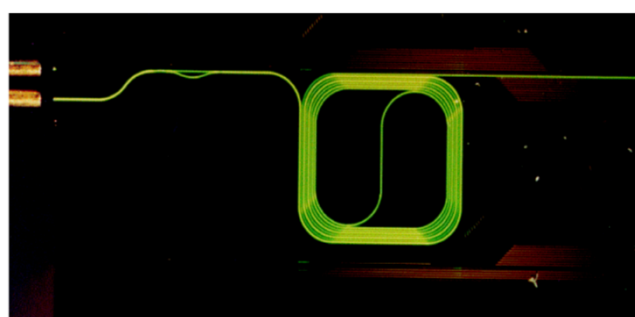
Substrátové sklo a iontová výměna: VŠCHT, litografie a charakterizace: ÚFE

Waveguide parameters	K <sup>+</sup>	Ag <sup>+</sup>
Mode-field dimensions	9.6×12.9 μm	6.1×7.0 μm
Mode-field dimensions @ 980 nm	6.9×10.5 μm	3.2×4.8 μm
Scattering loss @ 1550 nm	0.18 dB/cm	0.85 dB/cm



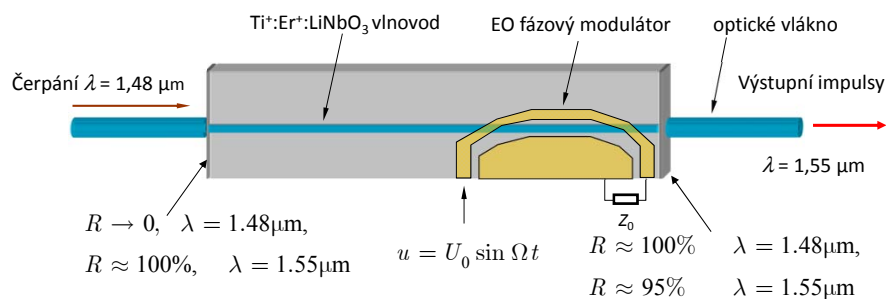
## Vlnovodný zesilovač Al<sub>2</sub>O<sub>3</sub>: Er<sup>3+</sup> na Si/SiO<sub>2</sub> podložce

spirála 1×1 mm<sup>2</sup>  
zisk 2,3 dB na  $\lambda = 1,55 \mu\text{m}$  při čerpání 10 mW na 1,48  $\mu\text{m}$



M.K. Smit et al. (TUD); Appl. Phys. Lett. **68**, 1888 (1996)

## Vlnovodný Ti:Er:LiNbO<sub>3</sub> laser s integrovaným elektrooptickým modulátorem pro synchronizaci vidů



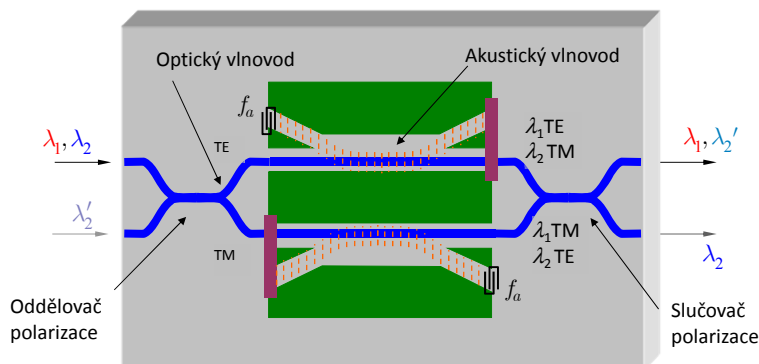
Ultrakrátké pulsy ( $\leq 5 \text{ ps}$ ), opakovací frekvence  $\approx 20 \text{ GHz}$

(Univerzita Paderborn, D, 1997-2000)

Úloha

## Polarizačně nezávislý akustoopticky laditelný začleňovací/vydělovací demultiplexor v LiNbO<sub>3</sub>

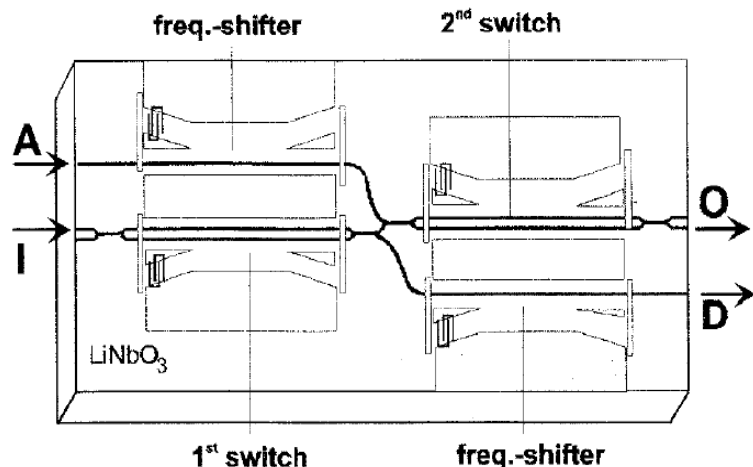
Princip: kolineární AO TE-TM konverze



Střední vlnová délka  $\lambda_c = 1,55 \mu\text{m}$ ,  
vzdálenost kanálů  $< 1 \text{ nm}$ , přeladitelnost  $\Delta\lambda \approx 70 \text{ nm}$

Úloha

### Add-drop multiplexer s kaskádním řazením filtrů a kompenzací frekvenčního posuvu

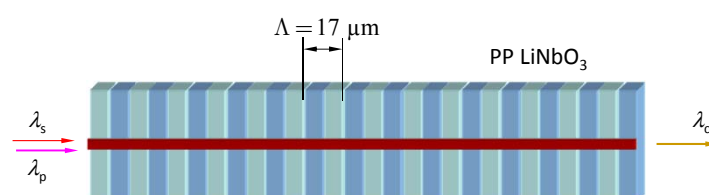


(Univerzita Paderborn 1997-2000)

**Úloha**

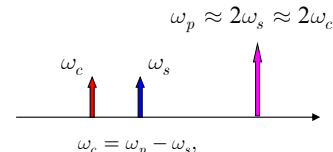
### Kódově transparentní konverze vlnových délek pro optické komunikační systémy

Nelineární optický jev 2. řádu – generování rozdílové frekvence



$$K = 2\pi / \Lambda; \quad k_c = k_p - k_s + K;$$

Probném: vlnovod je na  $\omega_p \approx 2\omega_s$   
dvou- až třívidový  $\Rightarrow$  obtížná excitace  
základního vidu.

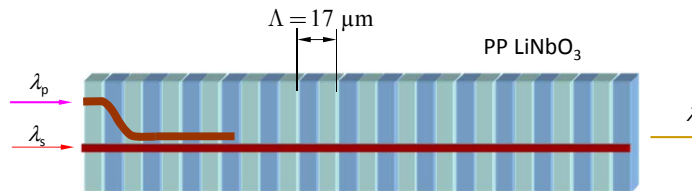


Řešení: kaskádní aplikace dvou procesů  $\chi^{(2)}$

**Úloha**

## Kódově transparentní konverze vlnových délek pro optické komunikační systémy

Kaskáda dvou nelineárních třívlnových procesů ( $\chi^2: \chi^2$ ) v PPLN

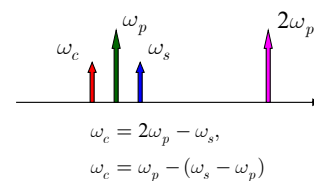


### Princip

1. generování 2. harmonické
2. generování rozdílové frekvence

$$K = 2\pi / \Lambda; \quad k_{2p} = 2k_p + K;$$

$$k_c = k_{2p} - k_s - K = 2k_p - k_s \approx k_s$$



### Aplikační možnosti

- Konverze vlnové délky
- Kompenzace disperze (inverze frekvenční závislosti!)
- Optické vzorkování rychlých průběhů

**Úloha**

**Konec části 3**

**Úloha**